れたソ連の研究報告。によれば、硫資鉱山に於ける火 災防止の為に爆撃中に水の寒天ゲルをわり込んでい る。これは吾々の得た研究成果と符合することを示す ものと思う。

以上5つの原因の他に帰続する導火線被覆による鉱石の引火燃火が考えられるので30 国鉱石種目 a につき試験を行つたが、引火したかつた。

* Sicherheitssprengstoffe für Schwefelbergwerke, L.W. Dubnow und N.S.Bacharewitsch: Chemisches Zentralblatt (1951) I 122Jg 1392

IV 結 言

- (1) 発破の際遊離院質の混在している就化能が引火燃 様する原因は木研究の範囲に於ては次の2つである ことが明6かになつた。
 - i)。爆薬に接触する穿孔内壁の鉱石は爆姦によつて 生起せられる高層高圧のガスに可なり長時間(側 短によれば10⁻¹秒の order である)触れている ために発火温度以上となり酸素の存在する空間に 披出されると燃焼し之が火糧となつて火災を起す に至る。特に過去薬の場合には甚だしいものと思 う。
 - ii) 爆破の際の断熱圧縮及爆焰或は飛散鉱石の衝突 による火花により空間に浮ゆうしている硫化鉱の 粉塵が燃練し、此の火焰により鋭角のある鉱石粒

に着火する。これが火値となって火災を起すに至 る。

- (2) 以上の原因に対する防火対策
 - i) 填塞物として水を適当な容器にいれたものを普通の粘土填塞物の前方に挿入すると非常に効果があると思われる。
 - ii) 適正な穿孔をくり過数薬にならぬ様にして損害 を充分することが必要である。
 - iii) 爆弾としては出来得る限り爆発温度の低いもの がよい。
- (3) 長星鉱山に於ける防火対策

火災には水という見地から低尾鉱山に於ては 25 年 初めから発敏前に切到附近に散水し非常に効果を挙げ ることが出来た。その後更に散水時間を軽長し発験中 も水道陸を開放のままにして置くことにより、更に火 災を減少することが出来る様になつた。即ち此等の実 続は表により明らかである。

表 6 (松皂鉱山提供)

散水の有無 散 水 な し 発液的散水 発破中も散水 ーケ月の火 災件数 13.2 1.9 1.2 備 考 平 均 25年の平均 26年の平均

終に木研究に対し御援助を賜つた松尾鉱山の藤田博士,伊藤採鉱部長及同鉱山の幹部各位並に実験補佐の 原田敏夫,植田武夫,田村肇の爾氏に深甚な謝意を表 する。

ポーラログラフによる NO3 の定量

(昭和27年7月18日受理)

墨 川 三 郎

(旭化成延岡工場研究部)

§ 1. 前 が き

S. Prāt", T. Rüzieka" 以来NO3′ は高原子価の 陽イオンの存在で水銀流下電極により還元されること は知られている。 M. Tokuoka" は之を定量化し ようとして種々の高原子師のカチオンについて系統的 な研究を行った結果を報告している。それに依れば、 Mg++,Ca++, Sr++, Ea++, La+++, Th++++(Kolthoff は UO3++をあげている)が NO3′ の還元波を出し、その 中 Mg++, La+++ が最も適当であると述べている。又 H. Holm⁶ & La⁺⁺⁺を用いて N()。 の定量が可能な ことを示している。

本研究は工場の日常分析に於て NO』をボーラログラフで如何程の精度をもつて定量し得るかを知ることが目的であつた。以上のカチオンの中 Th++++, Sn++を除いた凡でについて、実験を行ったが、Ca,++Ba++については全く還元波は得られなかつた。従つて支持電解質として、Mg++, UO,++, La+++ を用いた場合の選元波について報告する。

§ 2. Mg+ を支持電解質とした場合

日常分析の為の最も安価な準として先づ MgCl。について実験した。

以下特に断わらないものは試薬は凡て「分析用最純」 又は「特級」試薬を用いた。

2・1 支持電影質の組成

MgCl₂ 0.1~0.0001 N ゼラチン 0.01%

試料の種類によって LiCl 又は BaCl。の何れかを Mg+と同濃度又は夫以下加えた。

2.2 試 料

NO.J としては KNO.s, NaNO.s, Pb (NO.J)* 及び 確化用混酸 (H.SO. 約 60%, HNO.s約 25%, HNO. 約 0.5%) を載訳して, 支持電解質と種々の濃度の粗 合せで実験した。

2.3 実 敵 結 果

2・3・1 →価金属の硝酸塩について

M. Toknokn によれば Mg+ の 0.1~0.01 N, NO』 はその 1/10 以下の濃度のとき臭好な選元波が形

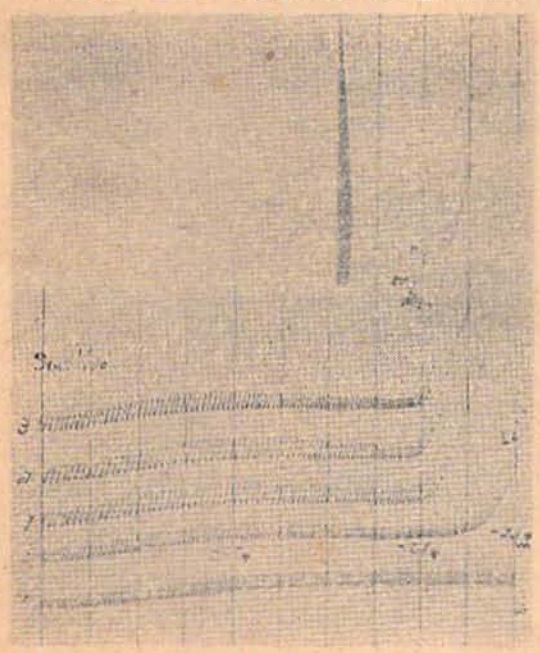


図 1

Polarograms of KNO₃ in MgCl₂ solutions of pH 6.6.

Curve 0; pure 0.01 N MgCls, LiCl

Curve 1; added 0.2

Curve 2; 0.3

Curve 3; 0.5 cc. of 0.0: N KNO3

られるとしているが、KNOa, NaNOa 等の一価金属 の硝酸造試料のとき,中性溶液 (pH 6.6; Beckman 硝子電極 pH メーターによる) では如何なる 濃度の 組合せに於ても還元波は得られない。溶液の pH を 逐次基基性側に移すと pH 6.6~8.5 の間では, -1.95V~-1.75V に於て NOs'の環元による電流の 増加が認められるが、還元電法は飽和に遠せ予從つて 速度と波高の比例性は全く望めない。pH 8.5 以上の 塩基性になると折出電位は更に + 側に偏り C-V 曲 線も非常に伸長された限界電流が値に認められる様に なるが、Mg(OH)。の沈淵が顕著に起り濃度と波高比 例性は殆んど認められない。溶液のpHによって析出 電位が移動することから中性溶液に於ても -2.0 V附 近に還元波が得られるのではないかと思われるので加 電圧範囲を -2.5V 送拡大して得たポーラログラムを 図1に示す。

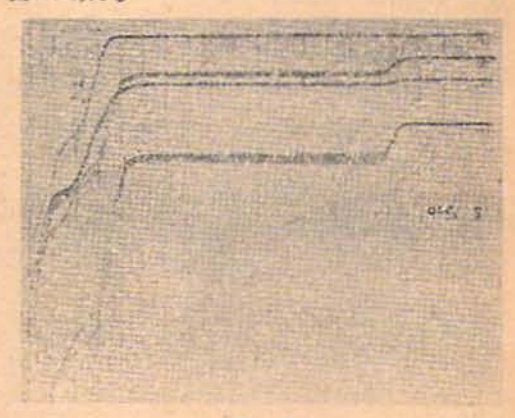


图 2

Polarograms of Pb(NO₃)₂ in MgCl₂ solns, of pH 6.6.

Curve 1; Pure 0.01N MgCla, BaCla

Curve 2; added Pb(NO2)2

(NO/ =0.8×10-3 N)

Curve 3: =2.0×10-3 N

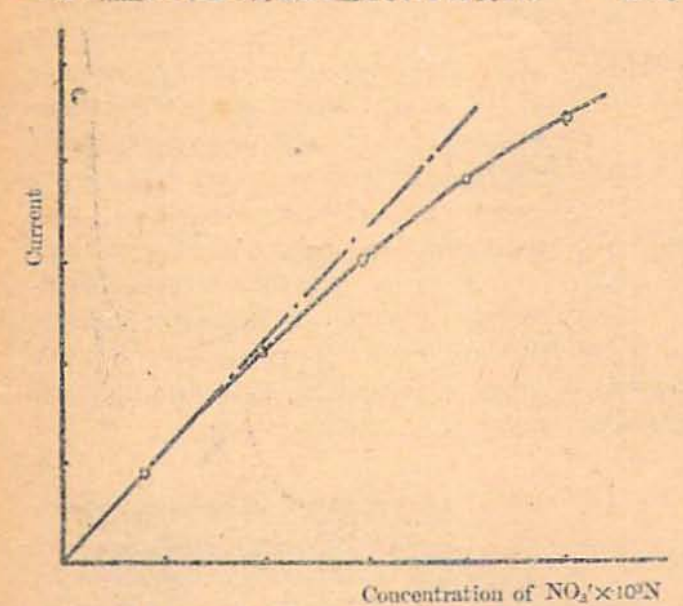
Curve 4; =4.0×10-2 N

図 1 に見られる様に -2.15V 附近に牛波電位をもつ還元波が得られているが、 NO_a' の還元機構として $N^{+p}+8-\longrightarrow N^{-m}$

と考えられ当量の一価金属イオンに較べて約8倍の設高となる筈である。別に得た K+ の還元電洗の大いさ 及析出電位と照合して、図1に得られた還元波はおそらく K+ のものであり、NO3'の還元は起っていないものと思われる。

2・3・2 二価金属の所酸塩について

金国カチオンの選定波と NO/ のそれとを分離し且 つ波筋の関係から NO/ の選定波を確認する為には -1.0V 附近かそれより高電波で還元される 金 圏の硫



□ 3 Current (in arbitrary units) vs. Concentration
 Pb (NO₃)₂ in 0,01 N-MgCl₂

酸塩であることが望ましい。 この目的の為に Pb (NO₂)。を描び pH 7.7 で得たポーラログラムを図 2 に示す。

 $Pb(NO_s)$ 。を加えたものは何れも約 -1.6V 附近に 還元波を生じそれが Pb⁺⁺の波高の約 4倍あることか らとれは NO_s ^{*} が還元されて生じた波であることがわ かる。

この様な波形の場合に濃度と波高に良い比例性をも たせる為には如何なる作図法によるかは実際にボーラ ログラムを解析する場合重要なことである。経験によ ればこの様な場合最大曲率法を変曲點より上側にだけ 適用することによつて比較的良い比例性を得られるこ とが多い。この方法によつて解析した場合の濃度と波 高の関係を図3に示す。一般に濃度が高くなると曲線 は濃度軸に対して凹となる傾向をもつている。

中性溶液に於て一価金属の硝酸塩で得られなかつた NO: の還元波が二価金属の塩になると得られるのは この二価金属も支持電解質のカチオンと同一の挙動を して陰極表面のボテッシャルを低下し、アニオンの强 世場中への近接を容易にする為かと思われる。

又 Tokuoka の報告にある一個硝酸塩の良好な還元 波が何故者々の場合得られなかつたかについては、今 後の実験に俟もたい。

§ 3. UO』 + を支持電解質とした場合

実験結果を図4及び5に示す。

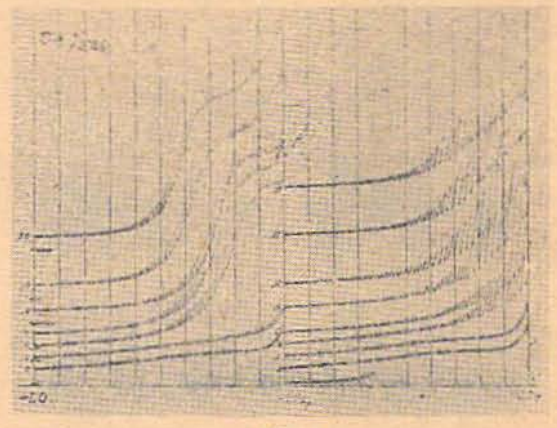
図4 左半分は 0.1N-UO₂(CH₃CO₂)₂, 0.1N -BaCl₂ の溶液 3cc. に1 N-KNO₃ を適4滴下して

得たボーラログラムで左端の数字はその適数を示す。図からわかる様に4滴から急液に NO₃'の選元波を生じ、それ以後は KNO₃ をいくら加えても波高は変化しない。回図右半分は同じ條件に於て硝化用混酸 (KOH 'で中和したもの) を KNO₃ の代りに加えたもの'である。 SO₃''の存在の為か波形は非常に乱れるが原度と波高の関係は左と同様である。

このボーラログラムからもし濃度と波高 に比例性があるとすれば 1~4 滴の間の濃 度であると思われ、それは約 0.04N 以下 の濃度に相当する。後つて次に 0.05N 以 下の濃度の検出を行つた。 (図5)

図5に見る様にUO」サ特有の還元波は認められるが濃度と波高の比例性は全然認められず如何なる濃度の超合せに対しても殆んど同じ波高を与える。更にNO」と較べてUO」サの濃度を高くすると、今迄生じて

いた NO』の還元波が消失する。又 -0.5V 附近に



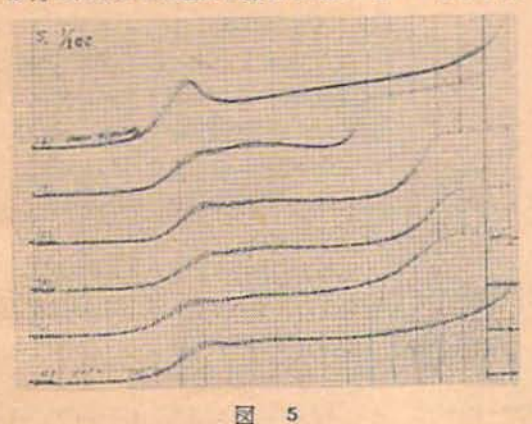
國 4

Polarograms of KNO₃ and mixed acid in 0, 1NUO₂(CH₃CO₂)₂ and BaCl₂ solns of pH 6.

小さな極大波を生じ之が條件によって種々の形を変えることなど興味深い事実が多く認められたが、本実験の目的である NO』の定量については全く 期待した結果は得られなかつた。脸この実験は占領下、放射性物質の使用を極度に根限されていた時の実験であり、十分な過試はまだ行っていない。

§ 4 La+++を支持電解質とした場合

前二節の実験に於て今迄の報文に見られる様な結果 が損られなかつた理由の探究は当面の音々の目的と相



Polarograms of KNO₃ in the presence of UO₂⁺⁺

Curve 1; blank, UO₃⁺⁺ = 0.01 N Curve 2; added KNO₃ 0.001 N Curve 3; 0.002 N Curve 4; 0.004 N Curve 5; 0.005 N Curve 6; added KNO₃ (0.005 N) and excess UO₂(CH₃CO₂)₂ UO₂⁺⁺=c.a. 0.1 N

反するので、次に La⁺⁺⁺の入手をはかつて行ずた実験 について簡単に述べる。

先づ La**+は Mg+, UO+と異り常に必す NO/の還元波が認められる。但し 波形は図 6 に示す様に 通常の無機イオンの様な簡単な対称図形を与えず,且 つ濃度によつで 波 の形 が著しく異つてくる。從つて Tokuoka の報告の様に一定電位の監 で 波高を比較すると比例性は極めて悪くなる。之に対して § 2. で行った様に変曲監より上方だけに最大曲率法を適用して 比較的比例性のよいことを認めた。これらの関係を図7 に示す。

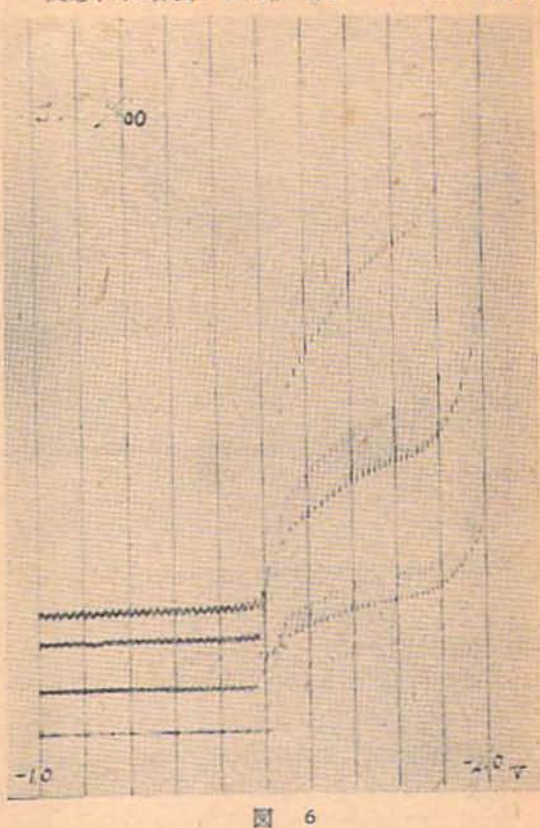
次にLu⁺⁺⁺を用いて硝化用混酸の分析を行った実験 について述べる。

§ 5 硝化用混酸の分析例

- i) 硝化用混酸 (組成前達) を KOH で中和し全酸 量を求め 10~10⁴ 倍に磊釈する。
- ii) SO₄" の分析, 一定濃度の Pb(NO₆)。溶液に弱値 酸々性の試料(i) を一定量加えて PbSO₆ の沈澱と なつて系外に去った Pb¹¹の減少を ボーラログラム

から求める。

iii) 試料 (i) に過剰の BaCl。 を加え SO。" を完全に 反応系外に除去する。 此の場合 10-4N 程度の 濃度



Polarograms of KNO₃ in the presence of La⁺⁺⁺.

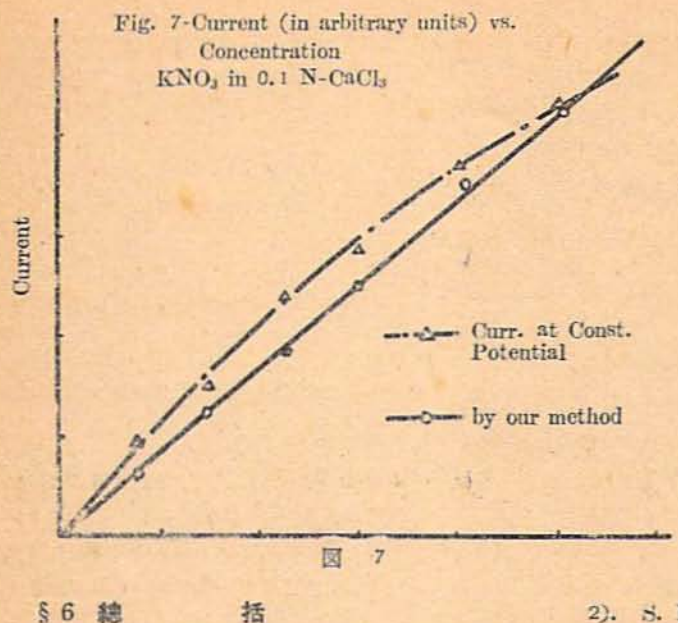
では NO』の沈澱えの吸着は顕成する必要がない。

- iv) 試料 (iii) を 0.1N La***の基底液に加えてボー ラログラフにかけ、NO3' の定量を行う。
- v) NO₂'の存在を予期して H₂O₂'で試料を酸化した 後に得たボークログラムも波器に変化は認められな かつた。即ちこの程度の NO₂'の存在は NO₃'の定 量に影響を与えないと共に, NO₂', NO₃' の分離定 量が困難であることを示している。

以上の実験の結果下の標な値を得た。

NO』 SO』"
化学分析 0.00060 N(×10⁵) 58.37 g/100g soln ポーロラ 0.00071 N(×10⁵) 58.83 g/100g soln

80』。の分析値は別として,NO。 についてポーラロ グラフ法で得た値を 10 倍すると, 誤遊は 1.11 Nと なり, 実際の目的には用い難い。



§ 6 總 括

Mg++,UO+及び Ln+++の存在でポーラログラフに
よって NO/ の検出を試み, 之を硝化用混酸の分析に

適用しようとした。

i) Mg+の存在では、一価金属の硝酸塩は pH 6.6 及び夫以下では還元されない。pH 6.6~8.5の範囲 では NO』の還元による電流増加は認められるが限 界電流は得られない。pH, 8.5 以上に於ては Mg (OH)』の沈澱が顕著に起り濃度と波高の関係は乱 れてくる。之に対して,二価金属の硝酸 塩の場合は中性溶液で限定性良好な還元 波を得て,十分定量に用い得る。

- ii) UO₃⁺⁺ の存在では濃度と波高に比例 性は認められない。
- iii) La****の存在では、常に NO』の還元 波は認められるが、ポーラログラフの特 性として稀薄溶液で行うため、之を混酸 主成分の分析に適用するときは大きな誤 整を伴い、現場業業分析に用いることは 困難である。

以上の実験を行うに当り種々の街接助を 賜わつたダイナマイト部大川航三氏に厚 く底謝の意を表する。

文 權

- M. Tokuoka; Collection., 4, 444 (1932)
- S. Prat; Handb. d. biolog. Arbeitsmetho den, Abderhalden. Abt. III. A. II. 1413 (1928)
- J. Rüzicka; Dissertation, Charles University. (1932)
- H. Hohn; "Chemische Analysen mit dem Polarographen", Berlin, (1937)

(本実験は昭和 26 年 4 月に行つたものである)

Polarographic Determination of Nitrate by S. Minekawa

The reduction of nitrates at the dropping mercury cathode has been studied in the presence of Mg⁺⁺, UO₂⁺⁺ and La⁺⁺⁺.

It has been ascertained that the reduction of nitrates of monovalent metals such as KNO₃ or NaNO₈ does not take place below the pH 6.6 of the solutions in the presence of Mg⁺⁺; between the pH 6.6 and 8.5 the relation between concentration and diffusion current and the reduction of nitrates is not always linear; above the pH 8.5 the precipitation of Mg (OH)₂ is observed markedly.

However, the nitrates of divalent metals such as Pb (NO₃)₂ is reduced at the dropping mercury electrode in the presence of Mg⁺⁺ between pH 6.6 and 8.5, and the proportionality of concentration and wave height is very excellent.

In the presence of UO2++, the reduction of nitrates takes place, but in this case the saturation currents due to the reduction of nitrates were not found to be proportional to their concentration.

La*** ion is a very suitable supporting electrolyte for the estimation of nitrates polarographically. The relation between concentration and wave height is always linear at the dilute concentration range. In any case, the current-voltage curve loses its symmetry.

(Asahi-Kasei Nobeoka Factory)